

Pb-Si

~~997~~
PbSiO₃(x)

(перишоуд. ф.)

4460-IV-ТКВ

Резниций Л.А.

Теплоемкость, энтропия и тепло содержание
метасиликата свинца, 2 с.



$(CH_3)_3SiH^+$, $(CH_3)_4Si^+$, $(CH_3)_4Ge^+$,
 $(CH_3)_4Sn^+$, $\frac{(CH_3)_4Pb^{+12}}{(SF_4)}$ ~~тест~~
Горохов Л.Н.

2826-IV-TXB

Потенциалы ионизации триметилсилина, тетраметилкремния, тетраметилгермания, тетраметилолова и тетраметилсвинца, 2 с.

Pb₂SiO₄(x)
(термоод. ф.).

4461-IV-ГКВ

Резницкий Л.А.

Теплоемкость, тепло содержание и энтропия
ортосиликата свинца, 2 с.



Pb₃Si₂S₇ (X)

0971

(T_{L2}, T_m)

4419-IV-ТКВ

Пашинкин А.С.

Температуры плавления и фазового перехода
тройных халькогенидов систем $A^{\bar{V}}B^{\bar{VI}}-C^{\bar{VI}}B^{\bar{VI}}$
 $A^{\bar{VI}}B^{\bar{VI}}-C_2^{\bar{VI}}B_3^{\bar{VI}}$, 5 с.

РВО. SiO₂ (к)

(T_{L2}, T_m)

4460

4460-IV-7KB

Покорев Б.С.

Температуры перехода и плавления мета-
силиката свинца, 2 с.

4Р80.5; D₂ IX)

(T_m)

4462-IV-71В

Покорев Б.С.

Температура плавления тетрасиликата свинца,

2 °с.

$5PbO \cdot P_2O_5 \cdot SiO_2$ (K)

1977

(T_m)

4466-IV-7KB

Пакорев Б.С.

Температура плавления тройной системы

$PbO - SiO_2 - P_2O_5$, 1 с.

2 РБД. SiO₂(x)
(T_{d2}, T_m)

4461-IV-7КВ
28.7.7

Покорев Б.С.

Температуры перехода и плавления ортосиликата свинца, 2 с.

Pb₂SiO₄ (КР. и ассоф.)

1571

(DFH)

4461-IV-ТКВ

ушакова И.М.

Стандартная энталпия образования ортосиликата свинца, 4 с.

1923

7104

 CaSiO_3 (C_P, HF, Htr) $\text{PbO} \cdot \text{SiO}_2$ $2\text{PbO} \cdot \text{SiO}_2$

}

C_P, HF

Brodemann

1. Diss., Frankfurt, 1923

M

 PbSiO_3

1930

8493

Nacken

4. Zement 19, 847 (1930)

PbSiO₃, kp.,)
) amorp. Hf^O

Pb₂SiO₄ kp.,)

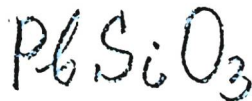
Circ. 500 M

7779

1934

PbO, PbO.SiO₂, 2PbO.SiO₂, 4PbO.SiO₂ (Tm)

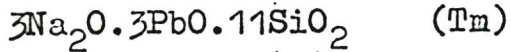
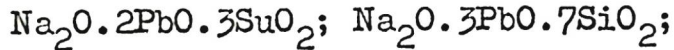
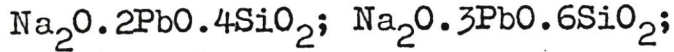
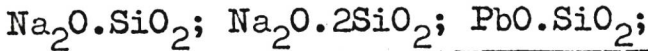
Geller, Creamer, and Bunting
1. J. Research Natl. Bur. Standards
13, 237 (1934)



Circ. 500 Be

9401

1937



Krakau K.A., Mukhin E.J., Heinrich M.S.
Compt.rend.acad. sci. URSS, 1937, 14,

281-5

Equilibrium...

Be

108 SiO₃

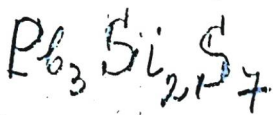
1937

6924

3PbS.2SiS₂, 3Ag₂S.2SiS₂, 4Ag₂S.SiS₂(Tm)

Monselise G.G.

Gazz.chim.ital. 1937, 67, 743-50
"Thiosilicates..."



Be

BP 8171.

1940

8171

(PbSiO_3 , FeSiO_3 (k, H))

Kolosov V.I., Murach N.N.

Metallurg. 1940, 15, N 3, 3-10

Equilirria of ...

III B.

1946

6931

S, SF (FeSiO_3 , MnSiO_3 , BaSiO_3 , ZnSiO_3 ,
 CdSiO_3 , PbSiO_3 (? ff)

Kireev V.A.

Х. общ. химии, 1946, 16, 1391-2

"Standard entropy of ..."

Be

6929

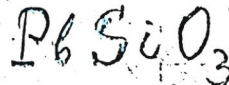
1949

№(PbSiO₃(cl), PbSiO₃ (kp))

Бестропьев К.С., Скорняков М.Н.

АН СССР, Отдел хим. Но.

АН СССР, Гос.органа Ленинградский
институт, сообщик статьи, 1949, №82-5



11, Вс

~~Process of solution in ...~~

Bp 6932 - IV

1956

PbO.SiO₂ (Ttr), Pb₃(PO₄)₂ (Ttr) ,
5PbO.P₂O₅.SiO₂ (Tm)

Paetsch H.H., Vietzel A.

Glastechn.Ber., 1956, 29, N 9,
345-356

Untersuchungen über das ...

Be

PbSiO₃

1957

6927

PbSiO₃ - (ЭДС)

Локкин Л.Н., Герасименко Л.Н.
То.Ченингр.политехн.ин-та, 1957, № 188,
ГГ0-ГГ4

Исследование системы...

М

ommick 2691

1959

Pb₄Si₃O₃(c) R. Barany.

Δ Hf[°] 298,

DS f[°] 298

Δ Ff[°] 298

" Bureau of Mines
report investig. 5466

Memorandum recd. Aug 24-8
of payback... .

B9P- 6933-IV

1959

PbSiO₃, Pb₂SiO₄ (H)

Братчиков С.Г., Веник О.А., Сривалин И.Т.
Науч.-исслед. институты Металлургии,
1959, № 2, 32-37

К термохимии расплавленных...

M, W

Pb-семикаре

1959

King E.G.

JACS, 1959, 81, N4, 799

>
1

-1390

-8

B8

Низкотемпературные температуры и энтропии при $298, 15^{\circ}\text{K}$ кристаллических чистых свинца Pb, орто- и семи- и семи-семикарбоната Pb и



1960.

Вр - 6934 - IV

2PbO.SiO₂, PbO.SiO₂, 2PbO.3SiO₂ (e.g.c.)

Миненко В.И., Петров С.М., Кириленко Л.Ф.
Укр.хим.ж., 1960, 26, № 2, 195-197

Исследование системы...

~~M, Be~~ B.

PbSiO₃

Bsp - 6928-IV | 1961

Pb₂SiO₄

Benz R.

Pb₄SiO₆

Schmalzried H.

(ΔZ_f)

"Z. Phys. Chem. Neue Folge"

1961, 29, 77-82.

PbSiO₃

1Б370. Изучение силиката свинца. Дифференциальный термический анализ процесса кристаллизации. Ито Х., Яагасэ Ц. «Кюсю кодзан гаккайси, J. Mining Inst. Kyushū», 1961, 29, № 1, 29—33 (японск.; рез. англ.).—Дифференциальным термич. и рентгеноструктурным анализами исследован механизм кристаллизации свинцово-силикатных стекол. Обнаружено соединение $3\text{PbO} \cdot 2\text{SiO}_2$ выше 650° , разлагающееся на смесь $2\text{PbO} \cdot \text{SiO}_2$ и $\text{PbO} \cdot \text{SiO}_2$. Из резюме авторов

Х. 1962. 1.

PbSiO₃

Commerce 2831. 1962

R. K. Kelley

Report. investig. 5901.

16 ft. off

Bureau of Mines.

1962

Pb SiO₃

1963

14 Б450. Об активности окиси свинца в расплавах системы PbO—SiO₂. Милиенко В. И., Иванова Н. С. «Укр. хим. ж.», 1963, 29, № 11, 1160—1164

Измерением э. д. с. цепи Pb|PbO(x)+SiO₂(1-x)|O₂ ($P_{O_2}=1\text{ at}$), Pt при 800, 900, 940, 1000, 1100 и 1200° в пределах конц-ий, при которых система PbO—SiO₂ гомогенна, рассчитаны активности, изобарные потенциалы образования, парц. и избыточные термодинамич. потенциалы PbO в исследованных расплавах. Термодинамич. свойства PbO скачкообразно изменяются вблизи составов, соответствующих соединениям $4\text{PbO} \cdot \text{SiO}_2$, $2\text{PbO} \cdot \text{SiO}_2$, $3\text{PbO} \cdot 2\text{SiO}_2$, $\text{PbO} \cdot \text{SiO}_2$ и $2\text{PbO} \cdot 3\text{SiO}_2$.

Резюме авторов

11/11/1964

2.1964.14

1963

Pb - cumulatn

Thermodynamic properties of molten lead silicate. V. I. Minenko and N. S. Ivanova (Eng.-Econ. Inst., Kharkov). *Izv. Vysshikh Uchebn. Zavedenii. Tsvetn. Met.* 6(3), 64-9(1963). The e.m.f. at 800, 900, 940, 1000, 1100, and 1200° for the chem. cell $Pb | xPbO + (1 - x)SiO_2 | O_2 (P_{O_2} = 1 \text{ atm.}) Pt$, in which the system PbO-SiO₂ is homogeneous; the isobars for isothermal potential of the PbO formation in the mixt. of PbO + SiO₂; entropy and enthalpy for the migration of 1 mole PbO and 1 mole SiO₂ from the melts of pure oxides and from the melts satd. with SiO₂, resp., are established. The changes of e.m.f. in the molten system PbO-SiO₂ occur at the points where the components 4Pb.OSiO₂, 2PbO.SiO₂, 3PbO.SiO₂, PbO.SiO₂, and 2PbO.3SiO₂ are in stoichiometric ratios. The isobars for isothermal potential, enthalpy, and entropy for the formation of PbO + SiO₂ compds. are also presented. 15 references.

Evan N. Davidenko

C.A. 1964. 60. 2

1179gh

1965

Pb₂SiS₄

1 Б249. Ортотиосиликат свинца Pb₂SiS₄. Hagen-muller Paul, Pérez Guy. L'orthotiosilicate de plomb Pb₂SiS₄. «C. r. Acad. sci.», 1965, 260, № 1, 167—169 (франц.)

В процессе исследования системы PbS—SiS₂ в т-рном интервале 800—1000° синтезировано новое соединение Pb₂SiS₄. Рентгенографич. исследование (методы порошка, Лауэ и качания, λ Cu-K_α) установило следующие значения параметров монокл. решетки: a 6,50 Å, b 6,65, c 17,68, β 115,5°, ρ (эксп.) 5,44, ρ (выч.) 5,51, $Z=4$, ф. гр. $P2_1/c$. Приведены значения I и d рентгенограммы порошка.

С. Рыкова

x. 1966. 1

1968

PbSiO₃Структура

→ 19 Б489. Кристаллическая структура аламозита PbSiO_3 . Boucher M. L., Peacock Donald R. The crystal structure of alamosite, PbSiO_3 . «Z. Kristallogr.», 1968, 126, № 1—3, 98—111 (англ.; рез. нем.)

Проведено рентгенографич. исследование (монохроматическая съемка, метод рентгенифрактометра, $\lambda\text{Cu}-K_2$) кристаллов минерала аламозита PbSiO_3 (Аламос, Мексика). Параметры монокл. решетки: $a = 11,23$, $b = 7,08$, $c = 12,26 \text{ \AA}$, $\beta = 113^{\circ}15'$, $Z = 12$, ф. гр. $P2/n$. Структура определена по трехмерным синтезам Паттерсона и простым и разностным синтезам электронной плотности; уточнение координат атомов выполнено методом наименьших квадратов с учетом индивидуальных изотропных тепловых поправок, $R = 11,1\%$. В структуре гофрированные цепи из соеди-

2. 1968

19

иенных вершинами SiO_4 -тетраэдров проходят в направлении [101]; период повторяемости вдоль цепи составляет 12 тетраэдров. Между цепями размещаются атомы Pb, занимающие три независимых положения, в одном из которых они координированы тремя, а в двух- четырьмя ближайшими атомами O кремнекислородных цепей (межатомные расстояния Pb—O 2,23—2,60, Si—O 1,60—1,67 Å), причем атомы O размещаются по одну сторону от атома Pb, что свидетельствует о ковалентном характере связи Pb—O. Атомы Pb и ближайшие к ним атомы O связаны псевдоосью 3₁, проходящей в направлении [010], образуя непрерывные спирали из атомов Pb и O.

С. В. Рыкова



Система

из

окислов

1968

№ 3 Б796. Термодинамические свойства PbO— SiO_2 -шлаков из измерений э. д. с. Charette G. G., Flengas S. N. Thermodynamic properties of PbO— SiO_2 slags by emf measurements. «Canad. Metallurg. Quart.», 1968, 7, № 4, 191—200 (англ.; рез. франц.)

Из измерений э. д. с. гальванич. ячейки с разделенным электродным пространством Pt, O₂ (1 атм) | 0,90 ZrO₂ + 0,10 CaO | (PbO— SiO_2) жидк. р-р, Pb (ж) в области составов от 40 до 85 мол. % PbO и т-р 720—1100° определены активности PbO и SiO_2 и парциальные и интегральные характеристики их смешения. Полученные результаты сравниваются с литературными и обсуждаются в связи с различными структурами силикатных шлаков. А. Гузей

X. 1970. 3

Pb-силикат

ВР-8225-XIV

1968

PbSiO₃

Pb₂SiO₄

Pb₄SiO₆

термо
актив

15 г

1 Б854. Термодинамический анализ твердофазовых реакций в системе PbO—SiO₂. Матвеев Г. М., Агарков А. С. «Изв. АН СССР. Неорганические материалы», 1968, 4, № 3, 406—410

Термодинамический анализ в системе PbO—SiO₂ проведен для твердофазовых р-ций образования из окислов наиболее достоверных соединений: PbSiO₃, Pb₂SiO₄, Pb₄SiO₆. Были рассчитаны $\Delta H = f(T)$ и $\Delta Z = f(T)$ р-ций образования указанных силикатов свинца в т-рном интервале 298—1000° К и по этим значениям составлены ур-ния $\Delta Z = f(T)$ и $\Delta H = f(T)$. Значения ΔZ_T^0 , рассчитывались на основе известных соотношений между ΔZ_T^0 , ΔH_T^0 и ΔS_T^0 с использованием составленных по исход-

X · 1969.

1

ным термохим. данным ур-ний $\Delta C_p = f(T)$ и эксперим. данных для свободной энергии $\underline{\text{PbSiO}_3}$, $\underline{\text{Pb}_2\text{SiO}_4}$ и $\underline{\text{Pb}_4\text{SiO}_6}$ при 913°K . Анализ полученных данных показал, что образование указанных силикатов свинца возможно во всем исследованном т-риом интервале, а величина ΔZ^0 для этих силикатов мало зависит от т-ры. Проведенная сравнительная оценка устойчивости силикатов свинца при соотношениях $\text{PbO} : \text{SiO}_2$ $1 : 1$, $2 : 1$, $4 : 1$ показала, что при любом соотношении компонентов в системе $\text{PbO} - \text{SiO}_2$ наиболее устойчивыми являются соединения стехиометрич. состава.

Автореферат

Pb-ceram 8P-8225-XIV 1968

ΔF

22620d Thermodynamic analysis of solid-phase reactions in the lead oxide-silicon dioxide system. Matveev, G. M.; Agarkov, A. S. (Tsent. Nauch.-Issled. Inst. Inform. Tekh.-Ekon. Issled. Prom. Stroit. Mater., USSR). *Izv. Akad. Nauk SSSR, Neorg. Mater.* 1968, 4(3), 406-10 (Russ). Study of the PbO-SiO₂ system is of considerable interest for silicate technology, esp. for the production of electro-vacuum, optical, and also a no. of special glasses. The equations $\Delta F^\circ = f(T)$ and $\Delta H^\circ = f(T)$ for the fundamental reactions of formation of Pb silicates from the oxides are compared, and ΔF° and ΔH° for these reactions at 298-1000° are calcd. A thermodynamic anal. of these reactions was done, and the thermodynamic sequence for the formation of various Pb silicates was detd.

S. A. Mersol

C.A. 1968-69-6

PB $\left[0\ Si(CH_3)_3\right]_2$ Schmidbauer H., 1968
Bergfeld M.

T_{decomp.}

Z. anorg. allg. Chem.,
363, N1-2, 84

(Ccl. Si - C - Si) I

1968

Bsp - 8213-XIV

2PbO·SiO₂

6 Б745. Исследование кинетики кристаллизации свинцовосиликатного стекла методом ИК-спектроскопии и электронной микроскопии. Смирнова Е. В., Черныш Н. В. «Ж. прикл. спектроскопии», 1968, 8, № 6, 1055—1058.

Методами ИК-спектроскопии и электронной микроскопии в интервале т-р 300—600° изучен процесс кристаллизации стекла, отвечающего по составу 2PbO··SiO₂. Обоими методами зафиксировано существование 3 т-рых областей, каждая из к-рых характеризуется определенным типом кристаллов. Полученные данные согласуются с диаграммой состояния системы PbO—SiO₂, включающей полиморфное превращение 2 PbO··SiO₂ при т-ре ~620°.

В. Павловский

Х. 1969. 6

PbSi₄O₉

Pb SiO₃

Pb₂SiO₄

дн

Х. 1969. 22

XIV-1064

1969

22 Б747. Термосодержание (энталпия) свинцовых силикатов при высоких температурах. Babolian Ro
b ergt. High temperature heat contents of lead silicates.
«J. Chem. and Eng. Data», 1969, 14, № 1, 63—64 (англ.)

В целях определения термосодержания свинцовых силикатов разработана методика приготовления тетрасвинцового силиката, свинцового ортосиликата и свинцового метасиликата. Далее проведены определения энталпии в интервале т-р от 380 до 970° К. Результаты измерений приведены в таблице.

З. А. Михайлова

XIV-1067

1969

Pb-silicate

91388s High-temperature heat contents of lead silicates.
Babolian, Robert (Metals and Contr., Inc., Texas Instruments,
Inc., Attleboro, Mass.). *J. Chem. Eng. Data* 1969, 14(1), 63-4
(Eng). High-temp. heat contents of $4\text{PbO} \cdot \text{SiO}_2$, $2\text{PbO} \cdot \text{SiO}_2$,
and $\text{PbO} \cdot \text{SiO}_2$ were detd. from room temp. to just below the
melting points. Total or partial glass formation precluded heat
of fusion detns. for these compds. The results have been sum-
marized in a table giving heat content values and by algebraic
equations.

RCJP

11-10.9

C.A. 1969.

70.20

1969

PbSiO₃Pb₂Si₂O₇Pb₂Si₂O₇Pb₄Si₆O₁₃T_mT_{tr}

X. 1970. 12

12 Б1342. Исследование фаз в системе PbO—PbSiO₃.
Billhardt Негтапп Вольфганг. Phasenuntersuchungen im System PbO—PbSiO₃. «Glastechn. Ber.», 1969, 42, № 12, 498—505, 3, 4 (нем.; рез. англ., франц.)

Проведено исследование системы PbO—PbSiO₃ с помощью рентгенографич., ИК-спектроскопич. и микроскопич. методов, а также ДТА. Образцы изготовлены сплавлением в Pt-тиглях соотв.-щих кол-в PbO и PbSiO₃ с добавкой нитрата NH₄ (для создания окислительной атмосферы), с последующим медленным охлаждением или закалкой (часть закаленных образцов подвергнута отжигу), а также спеканием таблеток спрессованных из порошка исходных стекол. Установлено, что PbSiO₃ (т-ра конгруэнтного плавления 760°) имеет 2 модификации: Т и Н, низкот-рная форма Т переходит при 500—700° монотропно в Н-форму, соотв.-щую минералу ала-

мозиту. Фаза $\text{Pb}_3\text{Si}_2\text{O}_7$, плавящаяся никонгруэнтно при 710° , является Pb -аналогом барисилита, изотипной, но не изоморфной. Фаза Pb_2SiO_4 плавится конгруэнтно при 750° и имеет 4 модификации: Н- Pb_2SiO_4 , устойчивую до $600-620^\circ$ с монокл. решеткой; M_1 , устойчивую в интервале $600-450^\circ$ и Т- Pb_2SiO_4 , устойчивую при т-рах $400-450^\circ$; модификация M_2 существует в интервале т-р $600-620^\circ$ и образуется из M_1 -модификации с незначительным изменением параметров решетки. Фаза Pb_4SiO_6 плавится с разложением на PbO и расплав при 725° . Из стекол состава $60-70$ мол.% PbSiO_3 при т-рах $<550^\circ$ кристаллизуется фаза X_0 , сходная по структуре с пироморфитом $\text{Pb}_5(\text{SiO}_4)_2 \cdot \text{SO}_4$.

Л. В. Шведов

Pb₂SiO₄

1969

104479r Phase studies in the lead oxide-lead metasilicate system. Billhardt, Hermann W. (Inst. Mineral., Univ. (TH) Karlsruhe, Karlsruhe, Ger.). *Glastech. Ber.* 1969, 42(12), 498-505 (Ger). A thorough reexamn. of the phase equil. diagram of the partial system PbO-PbSiO₃ definitely confirmed the identity of α -PbSiO₃ with the mineral alamosite. The existence of the often questioned pyrosilicate, 3PbO·2SiO₂, could be unequivocally confirmed. It is characterized by x-ray powder and single crystal diffraction diagrams and ir absorption as the Pb analog of the mineral barysilite, Pb₅X[Si₂O₇]₃. The natural barysilite contains Mn as the prevailing X cation of smaller size. From glasses of compns. between 60 and 70 mole % PbSiO₃, and 30 and 40 mole % PbO, a cryst. phase is formed below 550°, the x-ray diffraction pattern of which is strikingly similar to the silicate-sulfate pyromorphite, Pb₅[SiO₄]₃[SO₄], (B., 1968). The orthosilicate, Pb₂SiO₄, is obsd. in 3 different phases, γ , β_1 , and α , another one, called β_2 (stable at intermediate temps.) ap-

(T_{tr})

3PbO·SiO₂

(T_m)

C.A. 1930-72-20

pears only in the very narrow range at 600–620°. The inversion $\beta_1 \rightleftharpoons \beta_2$ takes place only with very minor changes in the structures, as seen from diffraction diagrams at elevated temps. From DTA curves and single crystal examn., it is concluded that above the temp. range of stability for the normal α (high-temp.) phase, another modification is derived at still higher temps., called α_2 . Among Pb silicates of higher basicity, the problem of the existence of $4\text{PbO} \cdot \text{SiO}_2$, and (or) $3\text{PbO} \cdot \text{SiO}_2$ (with an incongruent fusion temp. of 725°) could not definitely be answered, but the existence of an intermediate (β), and another low (γ)-temp. phase of $4\text{PbO} \cdot \text{SiO}_2$ with an inversion at about 155° is probable.

W. Eitel

1969

B9-8129-XIV

 $Pb_3Si_2O_7$

10 B2. Синтез $Pb_3Si_2O_7$. Bordeaux D., Lajzerowicz Janine. Synthèse de la barysilite $Pb_3Si_2O_7$. «Bull. Soc. franç. minéral. et cristallogr.», 1969, 92, № 4, 383—385 (франц.)

Методами ИК-спектроскопии и рентгенографии изучены соединения ряда $X Pb_8(Si_2O_7)_3$ ($X = Cd, Ca, Sr$) или 800° ($X = Pb$). $Pb_3Si_2O_7$ (I) имеет гексагон. структуру, $a = 10,204 \pm 0,004$, $c = 38,977 \pm 0,020$ Å, $Z = 18$, ф. гр. $R\bar{3}c$. Проследено изменение параметров решетки изученных соединений в зависимости от X и, следовательно, от среднего расстояния $X-O$; a изменяется более резко, чем c ; c линейно зависит от $X-O$. В ИК-спектре I имеется максимум поглощения при $650-750$ см $^{-1}$, соответствующий перегруппировке; этот максимум сдвигается в сторону

 T_m

X. 1970. 10

больших частот при уменьшении угла Si—O—Si в бипирамиде Si_2O_7 . В структуре I Pb занимает октаэдрич. позиции, соотв.-щие группам PbO_6 и пирамидальные несимметричные позиции, соотв.-щие группам PbO_3 ; в первых связь Pb—O близка к ионной, во вторых — имеет в основном ковалентный характер. Методом ДТА частично изучена система $\text{PbO}-\text{SiO}_2$. I плавится инконгруэнтно при $\sim 688^\circ$. Как установлено методом Вейссенберга, Pb_2GeO_4 имеет гексагон. структуру, $a = 10,271 \pm 0,004$, $c = 10,718 \pm 0,009$ Å, $Z = 3$.

И. Н. Семенов

Pb₃Si₂O₇

B90-8129-XIV

1969

(17992) Synthesis of barysilite $Pb_3Si_2O_7$. Bordeaux, D.; Lajczewicz, Janine (Lab. Spectrom. Phys., Saint-Martin-d'-Heres, Fr.). *Bull. Soc. Fr. Mineral. Cristallogr.* 1969, 92 (4), 383-5 (Fr). $Pb_3Si_2O_7$ (m.p. 712°) was prepd. by heating a pellet, formed at 10 tons/cm², of appropriate amts. of PbO

- and SiO_2 at $\sim 800^\circ$, followed by slow cooling. $Pb_3Si_2O_7$ is hexagonal with a 10.204, c 38.977 Å, Z = 18, and space group $R\bar{3}c$. The variations are shown of a and c for $MPb_3(Si_2O_7)_2$, M = Be, Ni, Mg, Co, Mn, Cd, Ca, Sr, and Pb. The variations in the characteristic ir frequency of the "pyro" group in $MPb_3(Si_2O_7)_2$ are given. $Pb_3Ge_2O_{11}$ was also synthesized; it is hexagonal with a 10.271, c 10.718 Å, and Z = 3. In $Pb_3Si_2O_7$, the Pb occupies regular octahedral sites corresponding to the group $[PbO_6]$, and very asym. pyramidal sites corresponding to the group $[PbO_5]$.

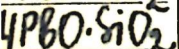
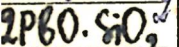
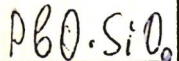
DWJF

C.A.

970.79.4

XIV-2526

1969



$$= \Delta H^\circ$$

$$\Delta G^\circ$$

C.A. 1970

49.4

(16239g) Thermodynamic analysis of the reaction of formation of lead silicates in the system PbO-SiO₂ and determination of the heat consumption for the lead silicate melt. Matveev, G. M.; El'kin, G. B.; Kerbe, Friedmar (Zent. Wiss. Forschungsinst. Inform., Moscow, USSR). *Silikattechnik* 1969, 20(7), 225-6 (Ger). The formation reaction of the silicates PbO·SiO₂, 2 PbO·SiO₂, and 4PbO·SiO₂ was investigated thermodynamically at 298-1800°K. A calcn. of the functional dependences $\Delta H^\circ = f(T)$ and $\Delta G^\circ = f(T)$ shows that the 3 Pb silicates can be formed within the entire temp. range. A calcn. of the free reaction enthalpy as dependent on the molar compn. of the reaction mixt. resulted in a series of thermodynamic stabilities, showing for the Pb silicates that in any mole ratio of the reactants that compd. is the most stable whose compn. corresponds to the stoichiometry chosen in the case in question. On the basis of the thermodynamic values calcd. for the system PbO-SiO₂, the sp. heat consumption for melting Pb silicates was detd. at various temps.

W. Eitel

1969

20 Б702. Термохимия жидкой системы окись свинца — двуокись кремния при 900°. Ostwald T., Kleppra O. J. Thermochemistry of the liquid system lead oxide-silica at 900°. «Inorgan. Chem.», 1969, 8, № 1, 78—82 (англ.)

Из калориметрич. измерений при 900° определены парц. энталпии жидк. PbO и тв. SiO_2 (кварц) в расплавах PbO— SiO_2 для N_{SiO_2} от 0,054 до 0,501 мол. долей. Вблизи $N_{\text{SiO}_2} \approx 0,35$ парц. энталпии резко зависят от состава, что приписывается образованию ортосиликат-аниона SiO_4^{4-} . Зависимость энталпий от состава не показывает наличия никаких других простых силикат-ионов. Зависимость энтропии от состава также согласуется с образованием ортосиликат-аниона.

А. Гузей

PbO — SiO₂

(нейтрал.).

из
относительно

2 · 1969 · 20

Pf Fz - Gi Oz XIV-1160 1970
(cucurbita)

Byatland D.,
Fekri A., Upp.
Acta Chir. Scand.,
1970, 24, N3, 874-879

Pb₃O₃

Силикаты

Герасимов

cf. b6

Δg_f

ΔH_m

X. 1970

22 Б835. Термодинамические свойства расплавленных систем PbO—SiO₂. Kozuka Z., Samis C. S. Thermodynamic properties of molten PbO—SiO₂ systems. «Met. Trans.», 1970, 1, № 4, 871—876 (англ.).

Из измерений э. д. с. гальванич. ячеек с тв. O²⁻-ионным электролитом вида Pb (жидк.) + PbO (жидк.) | ZrO₂-(+CaO) | Pb (жидк.) + PbO—SiO₂ (жидк.) в области т-р 900—1000° и составов $N(SiO_2) = 0,164, 0,292, 0,396, 0,483, 0,553$ и 0,614 определены и представлены графически активности компонентов расплава PbO—SiO₂ и парц. и интегральные термодинамич. характеристики системы. Полученные результаты сравниваются с известными лит. данными. Рассчитаны и табулированы свободные энергии образования жидк. силикатов Pb и оценены их теплоты плавления. С использованием модели Тоопа и Самиса рассчитана и представлена графически конц.-ионная зависимость коэф. активности свободных ионов O²⁻ в изученном расплаве

А. Гузей

• 22

1970

Персодин.

1970

анализ

14 Б848. Термодинамический анализ реакций сили-
теобразования в системе PbO—SiO₂. Матвеев М. А.,
Матвеев Г. М., Элькин Г. Б. «Ж. прикл. химии»,
1970, 43, № 2, 267—273

Р-ЧИЙ

PbO—SiO₂

X. 1970. 11

Pb-Si

1980

XIV-463

PbO.SiO₂

(92045b) Subsolidus studies in the system lead oxide-silicon oxide. Ott, W. Richard; McLaren, Malcolm G. (Sch. of Ceram., Rutgers State Univ., New Brunswick, N.J.). *J. Amer. Ceram. Soc.* 1970, 53(7), 374-5 (Eng). The subsolidus region of the PbO-SiO₂ system was studied by DTA and x-ray diffraction. X-ray diffraction anal. showed the presence of 5 compds.: 4-PbO.SiO₂, 3PbO.SiO₂, 2PbO.SiO₂, 3PbO.2SiO₂, and PbO.SiO₂. The compd. 4PbO.SiO₂ has previously been reported to have 3 polymorphic forms; there are 2 polymorphs of 2PbO.SiO₂ with the inversion at $460 \pm 15^\circ$. The compds. 3PbO.SiO₂ and 3PbO.2SiO₂ were unstable above $430 \pm 10^\circ$ and $585 \pm 15^\circ$, resp.; PbO.SiO₂ was unstable below $525 \pm 15^\circ$. DTA patterns were detd. for glasses of the compn. of each of these compds.

RCYT

C.A. 1980. 73-18

XIV-374 1970

Pb₂SiO₄

Система из отходов

ΔH,

Δg

12 Б1251) Использование кислородного электрода при определении активностей компонентов в силикатных шлаках. Parikh P. D., Kippelkag P. S., Roy D. L. Use of oxygen electrode in the determination of activities of components in silicate slags. «Indian Chem. Eng.», 1970, 12, № 1, «Trans. Inst. Chem. Eng.», 31—38 (англ.)

О₂-электрод использован для оценки активности PbO в расплавах PbO—SiO₂ в цепи Ni/Pb/PbO·SiO₂/Pt·O₂(г)/Pt при т-рах 850—1050°. Описаны эксперим. установка, конструкция О₂-электрода, принцип действия ячейки и методика приготовления материалов. Активность PbO рассчитана для смесей с мол. долей от 0,5 до 0,9. Представлены значения ΔF, ΔH и ΔS для PbO и SiO₂, а также значения ΔF и ΔH для системы в целом. Полученные результаты воспроизводимы и доволь-

X·1971·12

но хорошо согласуются с данными Сридхара и Джиффа
са (Sridhar R., Jeffes J. M. E., Trans. of Min. and
Metall., Sec. C., 1967, 76, Bull. № 724). В развитие
этого исследования ведется работа по термодинамике
равновесий металл—сплав—шлак.

Ю. Рыбкин

1990

PbO-SiO₂
 (система)

4 Б887. Исследование субсолидуса системы PbO—SiO₂. Ott W., Richard, McLaglen, Malcolm G. Subsolidus studies in the system PbO—SiO₂. «J. Amer. Ceram. Soc.», 1970, 53, № 7, 374—375 (англ.)

С применением рентгенофазового анализа и ДТА исследованы фазы, образующиеся при кристаллизации стекол. Установлено существование 5 устойчивых соединений при соотношении PbO/SiO₂=4:1, 3:1, 2:1, 3:2, 1:1. Соединение 4:1 имеет три полиморфных модификации, 2:1 — только две (переход при 460°). Соединения 3:1 и 3:2 выше 430 и 585° неустойчивы; 1:1 неустойчиво ниже 525°. Построена диаграмма состояния. Отмечено, что некоторые фазы могут в действительности быть метастабильными.

С. В. Немилов

Тетр.

X · 1991 · 4

PbSiO₃
(Crystal)

ZANAF
II wff

1941

100-1000°K

(1965)

PBSiO₄ GENAF 1971
Crysalis Tagg
100-2000°K
(1965)

$Pb_3Si_2O_7$ (Pb-Si-O)

1971

23348u Thermal analysis and x-ray diffraction studies of lead silicates. Bogoslovskaya, E. I.; Savina, E. V. (USSR). *Sb. Nauch. Tr., Gos. Nauch.-Issled. Inst. Tsvet. Metal.* 1971, No. 34, 163-75 (Russ). The phase diagram of the PbO-SiO₂ system was studied by high-temp. x-ray and thermogravimetric anal. Rapid cooling of Pb silicates does not produce monophase products. High-temp. modifications of Pb silicates must be studied in the temp. intervals of their existence. The existence of Pb₃Si₂O₇ was confirmed; its polymorphic conversion point is at 620° and the effects of hardening and tempering were established for it. The results of previous studies on the polymorphic conversion of Pb₂SiO₄ at 620° were confirmed. A polymorphic transformation of PbSiO₃ at 700° was established and the existence of a 3rd modification of this compd. in the temp. interval 715-765° was indicated by thermal anal. For Pb₄SiO₆, a polymorphic transformation at 700 ± 10° was confirmed. The low-temp. γ -modification changes into the β -modification via an intermediate γ' -phase which exists in the interval 150-360°. The conversion, $\gamma' \rightarrow \beta$, was established at 360°. High-temp. x-ray data were obtained for the 1st time for a no. of Pb silicate modifications.

Ants Laur

(T-t₂)

C.A. 1973. 78. N 4

Cecilieh PbO - SiO₂ 1971
W 91942a Determination of the thermodynamic properties of
the system lead oxide-silicon dioxide by means of emf. measure-
ments. Kapoor, Madan L.; Frohberg, Martin G. (Inst. Allg.
Metall., Tech. Univ. Berlin, Berlin, Ger.). *Arch. Eisenhuet-
tenw.* 1971, 42(1), 5-8 (Ger). With the aid of emf. cells of the
type Pb|PbO-SiO₂||ZrO₂(CaO)||Pt, O₂, the thermodynamic
values were detd. for the system PbO-SiO₂, at 750-1000°. The
cell was an alumina crucible, contg. pure liq. Pb, and a layer of
the PbO-SiO₂ slag, of known compn. CaO-doped ZrO₂ was used
as a solid electrolyte. The half-cell was flushed with O₂. Pure,
Pb, PbO, and SiO₂ were used. The desired slag compns. were
obtained by mixing with PbO, a premelt, composed of 50 mole %
PbO and 50 mole % SiO₂. Only the melt contg. 60 mole % SiO₂
was directly melted. Seven slags were prep'd., contg. 40-100
mole % PbO, at 10 mole % intervals. The emf. was measured
as a function of the temp., at different PbO mole fractions, and
the activities of PbO and SiO₂ were calcd. The integral mixing
enthalpies, mixing entropies, and integral mixing enthalpies
were detd. at 1000°. A. Aboul-Seoud

O.A. 1971. 24.18

Системы
из
шлаков

1871

12 Б754. Определение термодинамических свойств системы PbO—SiO₂ методом измерения э. д. с. K. a. p. o. o. g. M a d a n L a l, F r o h b e r g M a r t i n G. Die Bestimmung der thermodynamischen Eigenschaften des Systems PbO—SiO₂ mit Hilfe von EMK-Messungen. «Arch. Eisenhüttenw.», 1971, 42, № 1, 5—8 (нем.; рез. англ., франц.)

Из измерений э. д. с. ячейки Pb|PbO—SiO₂||ZrO₂—(CaO) ||Pt,O₂ определены общая и мол. энталпии, энтропия смешения и активности компонентов в системе PbO (I) — SiO₂ (II) при 750—1100°. Изучены 7 шлаков состава от 1 до 40% I через каждые 10 мол. %. Получена линейная зависимость э. д. с. от т-ры для 7 шлаков. По ф-ле $E = E^\circ - RT/nF \cdot \ln \sigma_{\text{ар्पо}}$ (где E° — потенциал элемента) рассчитаны значения активности (ар্পо) для 800, 900 и 1000°.

Б. Доброцветов

X. 1971

• 12

$\text{SiO}_2 \cdot n\text{PbO}$

1971.

106136d Thermodynamic analysis of silicate formation reactions in the lead(II) oxide-silica system. Matveev, G. M.; El'kin, G. B. (USSR). *Stekloobrazn. Sist. Novye Stekla Ikh. Osnove* 1971, 25-36 (Russ). From Ref. Zh., Khim. 1971, Abstr. No. 22B703. Thermodynamic anal. of silicate formation reactions in the $\text{PbO}-\text{SiO}_2$ system was carried out at 298-1800°. The equations of the temp. dependence of heat capacities of the system for various temps. were derived. Equations of the temp. dependence of enthalpies (ΔH_T) and Gibbs free energies

(ΔF_T) for SiO_2 , PbO and Pb silicates are proposed. The ΔH_T and ΔF_T values were calcd. at 100° intervals. Tables of the thermodynamic stability of compds. in the $\text{PbO}-\text{SiO}_2$ system were compiled for the component ratios 1:1, 2:1, and 4:1.

ΔG_T
 ΔH_T

C.A. 1972. 77. N 16

PbSiO₃

1971

22 Б703. Термодинамический анализ реакций силикатообразования в системе PbO—SiO₂. Матвеев Г. М., Элькин Г. Б. В сб. «Стеклообразн. системы и новые стекла на их основе». М., 1971, 25—36

Проведен термодинамич. анализ р-ций силикатообразования в системе PbO—SiO₂ в интервале т-р 298—1800°. С использованием метода Ландия получены ур-ния зависимости теплоемкостей системы от т-ры для различных интервалов т-р. Предложены ур-ния зависимости энталпий (ΔH_t) и изобарно-изотермич. потенциалов (ΔZ_t) от т-ры для SiO₂, PbO и силикатов Pb. Вычислены значения ΔH_t и ΔZ_t во всем интервале т-р через каждые 100°. В соответствии с полученными результатами составлен ряд термодинамич. устойчивости соединений в системе PbO—SiO₂ для соотношений исходных компонентов 1:1, 2:1, 4:1. Э. А. Ненарокомов

X. 1971. 22

1972

Pb₂SiO₄

Tm

118011b Lead oxide-lead metasilicate-lead sulfate system.
Manakov, V. M.; Bukhalova, G. A.; Mal'tsev, V. T. (Rostov.
Inzh.-Stroit. Inst., Rostov, USSR). *Zh. Neorg. Khim.* 1972,
17(2), 527-31 (Russ). The solidus diagram is constructed and
the compn. and m.ps. are given for 14 invariant points of the
system PbO-PbSiO₃-PbSO₄. The ternary system has a limited
field of glass formation. New information is added to the
previously published information on the binary system PbO-
PbSiO₃: decomprn. of Pb₂SiO₅ at 722° and incongruent m.p. of
Pb₂SiO₅ at 738°.

C. A. 1972

76-20

$\text{PBO} \cdot \text{SiO}_2$

$\text{2PBO} \cdot \text{SiO}_2$

$4\text{PBO} \cdot \text{SiO}_2$

1973

Barin Y; et al.
U.S. P. 623-025

298 - 1037 (me)

1037 - 1800 (rc)

298 - 1016 (nb)

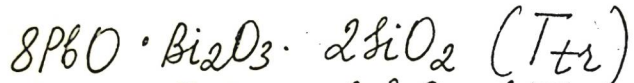
1016 - 1800 (rc)

298 - 908

corr. Ag F-F

Bp XIV- 6871

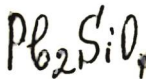
1973



Laureyns g.

Contribution à l'étude physico-chimique des solutions de métaux trivalents dans les silicates de plomb fondues. Thèse doct. chim-struct. Univ. sci. techn. Lille, 1973, 68p (op)

1973



89279d Enthalpy of fusion of lead silicate. Rita, R. A.; Bergeron, C. G.; Lukacs, J. M. (Dep. Ceram. Eng., Univ. Illinois, Urbana, Ill.). *J. Amer. Ceram. Soc.* 1973, 56(1), 47-8 (Eng). The enthalpy of fusion ($\Delta H_f = 11.1$ kcal/mole) of Pb_2SiO_4 was detd. from quant. DTA measurements. The enthalpy, entropy, and Gibbs free energy changes calcd. from the glass \rightarrow crystal transition of Pb_2SiO_4 at 25° were $\Delta H = 3.6$ kcal/mole, $\Delta S = 1.8$ cal/degree mole, and $\Delta G = 3.1$ kcal/mole, resp.

ΔS , ΔH ;
 ΔG

C.A. 1973. 78 niv

Pb₂SiO₄ 19 Б710. Энталпия плавления Pb₂SiO₄. Rita R. A., Bergeron C. G., Lukacs J. M. Enthalpy of fusion of Pb₂SiO₄. «J. Amer. Ceram. Soc.», 1973, 56, № 1, 47—48 (англ.)

(ΔH_m)

Методом кол-венно-го ДТА с применением в кач-ве эталона KCl (энталпия плавления 84,5 кал/г) измерены термодинамич. характеристики плавления Pb₂SiO₄. Кристаллы Pb₂SiO₄ были выращены на платиновой проволоке при 700° из расплава 2PbO+SiO₂, содержащего 33,01 мол.% SiO₂, и идентифицированы рентгенографически. Т-ра фазового перехода жидкость→стекло лежит при 400±3,5° и характеризуется эндотермич. эффектом на кривой охлаждения ДТА. По 20 независимым определениям вычислены энталпия (ΔH), энтропия (ΔS) и свободная энергия (ΔG) кристаллизации аморф. (стеклообразного) Pb₂SiO₄, равные соотв. 3,6 ккал/моль, 1,8 э. е. и 3,1 ккал/моль при 25°, а также определена

энталпия плавления Pb₂SiO₄, составляющая 21,9±
±1,8 кал/г (11,1 ккал/моль).

А. В. Салов

Х. 1973 № 19

1973

1974

PbO-SiO₂ (paz. quarzadella)

PbO-CaO

PbO-Al₂O₃

90770w Lead monoxide-aluminum oxide, lead monoxide-calcium oxide, and lead monoxide-silicon dioxide phase diagrams. Kuxmann, Ulrich; Fischer, Peter (Inst. Metallhuettenwes. Elektrometall., Tech. Univ. Clausthal, Clausthal-Zellerfeld, Ger.). *Erzmetall* 1974, 27(11), 533-7 (Ger). The liquidus curves for the PbO-CaO, PbO-Al₂O₃, and PbO-SiO₂ systems were detd. by DTA at 800-1150, 850-1125, and 700-1150°, resp.

+2

C.A. 1975. 82. N14

PbO-SiO₂

№ 884. Образование соединений и фазовые равновесия в системе PbO—SiO₂. Smart R. M., Glasser F. P. Compound formation and phase equilibria in the system PbO—SiO₂. «J. Amer. Ceram. Soc.», 1974, 57, № 9, 378—382 (англ.)

hf 61

Система PbO—SiO₂ изучена с помощью рентгеновского и петрографич. методов анализа. Образцы получены сплавлением или спеканием исходных окислов, сплавление проведено в Pt-тигелях и полученные стекла закристаллизованы изотермич. отжигом при субсолидусных т-рах. В системе установлено существование пяти стабильных фаз и пяти метастабильных: соств. 4PbO·SiO₂, Pb₃SiO₅, H—PbSiO₄; аламозит (PbSiO₃) и Pb₅Si₈O₂₁ и метастабильная: фаза Р типа пирохлора, L, M— и M'—PbSiO₄, барисилит, Pb₃Si₂O₇ (X₀·Pb₃Si₂O₇), PbSiO₃ — низкот-рияя и гексагон. формы. Фаза 4PbO·SiO₂ стабильна до 725° — т-ры инконгруэнтного плавления 4PbO·SiO₂ с образованием PbO. Фаза Pb₂SiO₄ при 640° распадается в тв. фазе на 4PbO·SiO₂ и Pb₂SiO₄. Фаза Pb₂SiO₄ существует в стабильной форме H, плавящейся конгруэнтно при 749° и трех метастабильных формах: L, M и M'. Форма L образуется при отжиге стекол при т-ре ниже 430°; при 430° она переходит в M-форму, к-рая при 620° находится в равновесии с формой M'.

Х. 1975
н9

Отжиг любой метастабильной формы при $T > 610^\circ$ приводит к образованию $H-Pb_2SiO_4$. Фаза аламозит является стабильной модификацией $PbSiO_3$ и плавится конгруэнтно при 761° , т. н. «зикот-риная» форма $PbSiO_3$ кристаллизуется при $T < 480^\circ$ и является метастабильной по отношению к аламозиту во всем интервале T - p . Гексагон. форма $PbSiO_3$ (метастабильная) образуется при переохлаждении расплава до 650° и последующей кристаллизации. Фаза $Pb_5Si_8O_{21}$ образуется при кристаллизации стекол с 46 мол.% PbO при $600-700^\circ$, структура $Pb_5Si_8O_{21}$ ромбич. с параметрами решетки $a = 9,12$; $b = 11,80$; $c = 16,26 \text{ \AA}$; верхний предел стабильности фазы $\sim 700^\circ$, при $T > 700^\circ$ $Pb_5Si_8O_{21}$ распадается на аламозит и высокотрнную форму кварца. Фаза P получена выдержкой стекол состава 20–27,3 мол.% PbO при $350-480^\circ$ и идентифицирована на базе кубич. элементарной ячейки с $a = 10,6 \text{ \AA}$; при длительных выдержках при 400° фаза P переходит в Pb_3SiO_5 . Барисилит образуется при кристаллизации перегретых расплавов состава $3PbO \cdot 2SiO_2$ до $610-640^\circ$, причем образование его протекает тем легче, чем ниже квалификация исходного PbO . Добавка 0,5 мол.% CaO позволяет получать барисилит из переохлажденных расплавов. Фаза $Pb_3Si_2O_7$, структурно отличающаяся от барисилита, также метастабильна и получена отжигом стекла при T -риах ниже 610° . Приведена скорректированная диаграмма состояния.

Л. В. Шведов

PbO-SiO₂

1974

(quaz. quarts.)

177517x Compound formation and phase equilibria in the system lead oxide(PbO)-silicon dioxide. Smart, R. M.; Glasser, F. P. (Dep. Chem., Univ. Aberdeen, Aberdeen, Scot.). *J. Am. Ceram. Soc.* 1974, 57(9), 378-82 (Eng). Compd. formation in the system PbO-SiO₂ was studied; the results are contrasted with those previously reported. Fifteen binary phases, 4 of which had not been reported, were prepd. in the present study. The new phases include Pb₂Si₃O₁₁, an orthorhombic polymorph of PbSiO₃, Pb₃SiO₅, and a high-SiO₂ phase contg. ~60 mole % SiO₂. It was shown that Pb₂SiO₅ is thermodynamically stable relative to Pb₂SiO₄ and 4PbO·SiO₂ below 640° ± 5°. A revised phase equil. diagram is presented.

C.A. 1974 81 n26

50818.6842
Ch, G1, TC

29291
PbO-SiO₂

1975
3233

Hess Paul C.

(ΔHmix, 4G mix)

PbO-SiO₂ melts: structure and thermodynamics of mixing.

"Geochim. et cosmochim. acta", 1975, 39, N 5,
671-687

(англ.) 1435 ГИК

400 402

0427

ВИНИТИ

Pb₂SiO₄

XIV-7049

1975

10 Б962. Исследование взаимодействия в квазиби-
нарных системах из ортосиликата свинца и Pb₂ЭО₅
(Э — элемент подгруппы хрома). Манаков В. М.,
Семин Е. Г. «Ж. неорган. химии», 1975, 20, № 12,
3390—3391

Термическим методом исследованы три двойных си-
стемы Pb₂SiO₄—Pb₂ЭО₅, где Э=Cr, Mo, W. Т. пл. ис-
ходных компонентов Pb₂SiO₄ 738°, Pb₂CrO₅ 920°,
Pb₂MoO₅ 950° и Pb₂WO₅ 904°. Во всех системах обра-
зуются эвтектики с т. пл. 636, 666 и 690° и составом
Pb₂ЭО₅ 20,16 и 36 вес.% для Э=Cr, Mo и W соот-
ветственно.

Л. Г. Титов

(+3)

X1976 N10

Pb_2LiO_4

1976

Götz J., Hoebbel D.
et al.,

(Tz2) Polymerization Effects
During the Crystallization
PdX, $\lambda\lambda \text{ F } 1067$ nm silicate
glasses

Расплавы Pb-Si-O.

1976

Pb -
-среднему
перво-
записанию

№ 14 Б892. Термодинамика силикатофторидных рас-
плавов свинца. Grau A. E., Caley W. F., Mass-
оп C. R. Thermodynamics of lead silico-fluoride melts.
«Can. Met. Quart.», 1976, 15, № 4, 207—273 (англ.;
рез. франц.)

Методом э. д. с. с тв. O^{2-} -ионным электролитом ($ZrO_2 + CaO$) определены активности PbO в расплавах $PbO - PbF_2$ (до 30 мол. % PbF_2) и $PbO - PbF_2 - SiO_2$ (до 20 мол. % PbF_2). Результаты для бинарной системы согласуются с лит. данными. Электронномикроскопич. анализ использованных в опытах электролитов показал заметное взаимодействие расплавленного шлака с электролитом, особенно для составов с содержанием $PbF_2 \geq 10$ мол. %. Это требует введения ограничений по т-ре и продолжительности опытов. В расплавах с $X_{SiO} > 0,2$ активность PbO растет с ростом содержания PbF_2 , а при $X_{SiO} < 0,2$ — зависимость обратная. Это объяснено влиянием F^- и освобождающихся O^{2-} -ионов на деполимеризацию силикат-ионов. По резюме

2: 1948, N14

1977

Pb₄SiO₆

7 Б278. Новые окислы-антиферроэлектрики: получение и монокристалльные исследования. Busch A. A., Ivanov S. A., Titov A. V., Rannev N. V., Shchedrin B. M. New antiferroelectric oxides: growth and studies of single crystals. В сб. «Четвертая Международ. конф. по сегнетоэлектричеству МКС-4. Ленинград, 1977 г. Тезисы.» Л., «Наука», 1977, 120 (англ.)

Методом спонтанной кристаллизации из расплава получены и рентгенографически и термически исследованы монокристаллы Pb₄SiO₆ (I) (ф. гр. $P2/m$, т-ра фазового перехода 155°), [Pb₄GeO₆] (II) ($P2/m$, 340°), [Pb₃GeO₅] (III) ($P2_1$, 360°), [Pb₅Ge₃O₁₁] (IV) ($P3$, 177°), PbMn₆O₁₃ (V) ($P6/mmm$, -35°), Pb₃SbO_{5+x} (VI) ($C2/m$, 300°), Pb₂CrO₅ (VII) ($C2/m$, 180°). Соединения I, II, III, VI и VII обнаружили антиферроэлектрич. св-ва. Выполнено рентгеноструктурное исследование III. Атомы Pb находятся в октаэдрах, а Ge — в слегка искаженных тетраэдрах.

Ю. А. Малиновский

+3

ХНГУ 1977

2PbO·SiO₂

1977

22 Б1067. Эффекты полимеризации при кристаллизации силикатных стекол. Götz J., Hoebbel D., Wicker W. Polymerization effects during the crystallization of silicate glasses. «Reaktiv. Solids. Proc. 8th—Int. Symp., Goteborg, 1976». New York—London, 1977, 525—527 (англ.)

Tr

Исследованы полимерные группировки в свинцово-силикатных стеклах, образующиеся при их кристаллизации, с использованием трех независимых хим. методов. Установлено, что 2PbO·SiO₂ кристаллизуется в 4 полиморф. модификациях. При быстром охлаждении расплава образуется стеклообразный силикат. Термообработка этого стекла при т-ре <380° приводит к образованию низкот-рной модификации $T\text{-Pb}_2\text{SiO}_4$, к-рая при т-ре 430° переходит в 1-ю среднет-рную модификацию $M_1\text{-Pb}_2\text{SiO}_4$, для дальнейшем нагреве до 620° — во 2-ю среднет-рную модификацию $M_2\text{-Pb}_2\text{SiO}_4$, и, наконец, при т-ре 720° — в стабильную H -модификацию. Образование метастабильных T -, M_1 - и M_2 -фаз и стабильной H -фазы связано с полимеризацией анионов

X.1978, N22

силиката. Стеклообразный $2\text{PbO} \cdot \text{SiO}_2$ характеризуется полным набором самых различных силикатных единиц без преобладания какой-либо одной из них. Термовые колебания при термообработке стекла вызывают фрагментацию наиболее крупных силикатных группировок и образование димерных единиц $[\text{Si}_2\text{O}_7]^{6-}$. Последние полимеризуются в четырехмерные циклы $[\text{Si}_4\text{O}_{12}]^{8-}$ при переходе T -фазы в M -фазу. Вторая среднетриная модификация M_2 является промежут. между M_1 и стабильной фазой H , к-рая содержит преимущественно высокомолек. полисиликатные цепи $[\text{SiO}_3]^{2-}$. Полученные данные подтверждают представление о том, что склонность в-в к стеклообразованию связана с присутствием структурных группировок различного размера и формы, что препятствует формированию трехмерной крист. решетки. А. Е. Вольпян

ght
stall

Pb₄SiO₆

XUS-18845

1977

Pb₂SiO₄

PbSiO₃

?

(ΔHf)

87: 29942r Thermochemistry of the lead monoxide-silicon dioxide system. Koether, W.; Mueller, Franz (Inst. Geesteshuettenkd., Tech. Hochsch. Aachen, Aachen, Ger.). Z. Anorg. Allg. Chem. 1977, 429, 91-8 (Ger). The enthalpies of formation ΔH°_f of Pb₄SiO₆, Pb₂SiO₄, and PbSiO₃ were detd. by oxide melt soln. calorimetry in 2 PbO-B₂O₃ melts at 967 ± 2 K: $\Delta H^\circ_f(\text{Pb}_4\text{SiO}_6, 967 \text{ K}) = -3.08 \text{ kcal.mol}^{-1}$, $\Delta H^\circ_f(\text{Pb}_2\text{SiO}_4, 967 \text{ K}) = -4.26 \text{ kcal.mol}^{-1}$ and $\Delta H^\circ_f(\text{PbSiO}_3, 967 \text{ K}) = -4.51 \text{ kcal.mol}^{-1}$ referred to PbO (rhom.) and SiO₂ (β -quartz). All the published thermodn. data for the PbO-SiO₂ system were collected and the thermodn. properties crit. assessed; a complete set of consistent data was obtained both for the solid and liq. state.

B91-XIV-8887

C. A. 1977. 87 w 4

1977

Pb₂SiO₅
PbSiO₃
Pb₄SiO₆

19 Б974. К термохимии системы PbO—SiO₂. Köther W., Müller Franz. Zur Thermochemie des Systems PbO—SiO₂. «Z. anorg. und allg. Chem.», 1977, 429, № 2, 91—98 (нем.; рез. англ.)

В высокот-рном калориметре Кальве определены ΔH (раств.) при $967 \pm 2^\circ\text{K}$ в расплаве $2\text{PbO}\cdot\text{B}_2\text{O}_3$, PbO (ромб.) (I), $\beta\text{-SiO}_2$ (кварц) (II), Pb_4SiO_6 (III), Pb_2SiO_4 (IV) и PbSiO_3 (V). Силикаты синтезированы сплавлением окислов при 1000°K . Отсутствие методич. ошибок подтверждается определением ΔH (раств.) I и II, к-рые хорошо известны из лит. данных. Из опытных данных вычислены ΔH (обр., 967°K , ккал/моль) из I и II, составившие для III $-3,08 \pm 0,28$; IV $-4,26 \pm 0,11$ и V $-4,51 \pm 0,12$. С использованием лит. данных вычислены ΔH (обр., 298°K , ккал/моль) III $-3,17$; IV $-4,26$ и V $-4,3$, а также ΔS (обр., 298°K , э. е.) 5,7; 3,5 и 1,0, соотв. Показано хорошее согласие мольной энтропии смешения расплавов PbO—SiO₂ с ранее опубликованными данными. Библ. 30.

Л. Резницкий

(1Hf)

Х. 1977 N 19

БР-ХIV - 8881

File - 18845

PbSiO₃

ВР-ХIV-926621974

Pb₂SiO₄

1 Б693. Свободные энергии образования стеклообразных силикатов свинца при повышенных температурах. Матвеев Г. М., Журавлев А. К. «Физ. и химия стекла», 1977, 3, № 4, 353—355

Из измерений э. д. с. гальванич. элементов (—), Pt, O₂|PbO|PbF₂|SiO₂ (стекло) + PbSiO₃ или Pb₂SiO₄ (стекло)|O₂, Pt(+) определены энергии Гиббса процессов PbO+SiO₂ (стекло) = PbSiO₃ (стекло) (1) и 2PbO+SiO₂ (стекло) = Pb₂SiO₄ (стекло) (2). Измерения проводились в интервале 620—660° К. Трные зависимости энергий Гиббса процессов (1—2) представлены уравнениями ΔG_1° (кал/моль) = $(-3454 \pm 304) - (4,33 \pm 0,48)T$ и ΔG_2° (кал/моль) = $(-2297 \pm 756) - (6,26 \pm 1,18)T$. Аналогичные измерения для крист. PbSiO₃ дали зависимость ΔG° (кал/моль) = $(-4063 \pm 184) - (1,69 \pm 0,29)T$.

П. М. Чукров

(467)

Х. 1978 № 1

PbO - SiO₂

1974

Bi₂O₃ - SiO₂

87: 207337g; Study of phase transformations in lead monoxide-silicon dioxide and bismuth trioxide-silicon dioxide systems. Mittova, I. Ya.; Foertsch, P. (USSR). *Poluprovodn.*

Materialy i Ikh Primenenie. 1977, 126-31 (Russ). From Ref. *Zh., Fiz., E* 1977, Abstr. No. 9E1800. Title only translated.

paz.
gearp.

C. A. 1974, 82 v26

1977

PbO - SiO₂

Bi₂O₃ - SiO₂

88: 12645u Study of phase transformations in lead oxide-silicon dioxide (PbO-SiO₂) and bismuth oxide-silicon dioxide (Bi₂O₃-SiO₂) systems. Mittova, I. Ya.; Fertsch, P. (USSR). *Poluprovodn. Materialy i ikh Primenie.* 1977, 126-31 (Russ). From Ref. Zh., Khim. 1977, Abstr. No. 19B1051. Title only translated.

(T_{tr})

(+1) B



C.A., 1978, 88, 16

1979

 Pb_4SiO_6 Pb_4GeO_6 Pb_3GeO_5 T_{tr}

13 Б487. Новые антиферроэлектрические окислы: выращивание и исследование монокристаллов. Busch A. A., Ivanov S. A., Titov A. V., Rannev N. V., Shchedrin B. M., Venevtsev Yu. N. New antiferroelectric oxides: growth and studies of single crystals. «Ferroelectrics», 1978, 21, № 1—4, 427—428 (англ.)

Дан краткий обзор результатов работ авторов, полученных при исследовании Pb-содержащих соединений, со ссылками на оригинальные исследования. В кач-ве первого обнаруженного авторами антиферроэлектрика (АФЭ) указан Pb_4SiO_6 (монокл. структура, подъячейка с $B' = \pi/4$). Германат Pb_4GeO_6 , АФЭ, изоструктурен силикату Pb_4SiO_6 , на кривой ДТА обнаружен обратимый фазовый переход при 340° , на кривой т-рной зависимости диэлектрич. проницаемости обнаружен резкий максимум, отмечено отсутствие петли гистерезиса (вплоть до 15 кВ/см). В германате Pb_3GeO_5 выявлен фазовый переход при 360° (проявляется на кривых т-рных зависимостей параметров решетки, интенсивности генерации второй гармоники, ϵ). Показано, что Pb_3GeO_5 — АФЭ с т-рой Кюри 360° . Для германата (Pb .

Х. 1979, № 13

$\text{Ba}_5\text{Ge}_3\text{O}_{11}$ найден новый фазовый переход при -35° . Соединение $\text{Pb}_3\text{Mn}_6\text{O}_{13}$ характеризуется слабыми ферромагнитными и антиферромагнитными св-вами при т-рах ниже -204° . Т-ра фазового перехода в антиферромагнитную фазу -33° . Высказано предположение, что кристалл $\text{Pb}_6\text{Sb}_2\text{O}_{11}$ АФЭ с т-рой Кюри 300° . Симметрия кристаллов $\text{Pb}_6\text{Sb}_2\text{O}_{11}$ псевдотетрагон. ($a'=a$,

$c'=\bar{c}$, $b'=2b+a$, $a' 12, 56, \cdots 12,74$, $c' 7,46$, $\gamma' 90,7^\circ$. Высказано предположение, что при фазовом переходе симметрия элементарной ячейки изменяется от монокл. к тетраг. и такой переход может быть отнесен к ферроэластич. переходам. В соединении Pb_2CrO_5 обнаружен фазовый переход при 180° , предполагается, что этот переход носит АФЭ характер.

Л. Н. Демьянец

PbO - SiO₂ - GeO₂

1980

=

93: 246411v DTA investigations in the system lead monoxide-silicon dioxide-germanium dioxide. Breuer, K. H.; Eysel, W. (Mineral. - Petrogr. Inst., Univ. Heidelberg, Heidelberg, Fed. Rep. Ger.). *Therm. Anal., [Proc. Int. Conf. Therm. Anal.]*, 6th 1980, 2, 263-8 (Eng). Edited by Hemminger, W. Birkhaeuser: Basel, Switz. In the PbO rich part of the system PbO - SiO₂ - GeO₂ the equil. phase diagram of the section Pb₃SiO₅ - Pb₃GeO₅ was found to be partially binary and partially ternary, with extended solid solns. of all phases obsd. Over a wide compn. range glasses can be quenched, which show rather complicated devitrification effects. All the various cryst. phases obtained during DTA $\leq 600^\circ$ turned out to be metastable.

pazobas
guarip.

C.A. 1980, 93 n26

Pd-Si

1981

/96: 12244c Determination of mixing enthalpies in the palladium-silicon system at 1600 K. Arpshofen, Ingo; Pool, Monte J.; Gerling, Ulrich; Sommer, Ferdinand; Schultheiss, Emil; Predel, Bruno (Inst. Werkstoffwiss., Max-Planck-Inst. Metallforsch., Stuttgart, Fed. Rep. Ger.). *Z. Metallkd.* 1981, 72(11), 776-81 (Ger). The heats of mixing in the Pd-Si system were detd. at 1600 K by using a SETARAM high temp. calorimeter. The exptl. results show strongly neg. ΔH values over the whole concn. range with a max. amounting to -72.2 kJ/g-atom at the concn. of the highest melting intermetallic compd. in this system, namely, Pd₂Si. The concn. dependence was analyzed in terms of the occurrence of assocns. having the stoichiometric compn. Pd₂Si. The results are discussed in connection with the glass formation ability of the Pd-Si alloy melts.

ΔH_{mix}

C.A. 1982, 96, N2.

18 Б465. Структура «ортосиликата» свинца, $2\text{PbO} \cdot \text{SiO}_2$. Dent Glasser L. S., Howie R. A., Smart R. M. The structure of lead 'Orthosilicate', $2\text{PbO} \cdot \text{SiO}_2$. «Acta crystallogr.», 1981, B37, № 2, 303—306 (англ.)

1981

Изучена крист. структура $\text{M}' \cdot 2\text{PbO} \cdot \text{SiO}_2$, полученного медленным охлаждением расплава, содержащего 63 мол.% PbO от 1022 до 1012 К с последующим выдерживанием в течение 24 час. Кристаллы монокл., $a = 19,43$, $b = 7,64$, $c = 12,24$ Å, $\beta = 99,33^\circ$, $Z = 16$, ρ (выч.) 7,44, ρ (изм.) 7,62, ф. гр. $A2$. Уточнение выполнено по 571 отражениям (дифрактометр) до $R = 0,086$. В структуре присутствуют четырехчленные циклы Si_4O_{12} , построенные из тетраэдров SiO_4 ($\text{Si}—\text{O}$ 1,64—1,69 Å), изолированные ионы O^{11} , связанные с $\text{Pb}(2+)$. Координац. полиэдр атомов Pb — октаэдр из атомов O, у к-рого отсутствует 1 вершина ($\text{Pb}—\text{O}$ 2,15—2,66 Å) или искаженная пирамида, у к-рой 1 вершина также вакантна ($\text{Pb}—\text{O}$ 2,09—2,69 Å). Такая координация обусловлена стереохимически активной неподеленной парой электронов у атомов Pb. Строение фазы может быть отражено ф-лом $\text{Pb}_8\text{O}_4\text{Si}_4\text{O}_{12}$ и т. о. она является не ортосиликатом, а основным метасиликатом. Структура характеризуется разупорядочением в расположении слоев из групп Si_4O_{12} .

М Б Барфоломеев

Кристалл.
Структур.

7С 1981/118

1981

Тепловое расширение

Pb_3SiO_3

(Стекло)

9 Е320. Термическое расширение свинцосиликатных стекол. Thermal expansion of lead silicate glasses. Greenough R. D., Dentschuk P., Palmer S. B. «J. Mater. Sci.», 1981, 16, № 3, 599—603 (англ.)

В интервале $T = 77$ — 273 К изучено термическое расширение двух свинцосиликатных стекол, содержащих 21 и 38,5 мол.% PbO . Температурная зависимость коэф. теплового расширения аналогична зависимости для натриевосиликатных стекол, однако введение 21 мол.% PbO в SiO_2 эквивалентно в смысле теплового расширения введению в SiO_2 только ~ 10 мол.% Na_2O . В связи с этим обсуждена структурная роль катионов Pb^{2+} и Na^+ в силикатных стеклах. Предполагается, что одна часть ионов Pb выполняет функцию стеклообразователя и входит в сетку стекла наравне с ионами Si^{4+} , а другая модифицирует сетку стекла по аналогии с ионами Na^+ .

Б. Н. Сигаев

Ф. 1981 № 9

Pb₁₁Si₃O₁₇

1981

18 Б963. Фазовые соотношения в системе PbO—PbSiO₃. Hirota Kazushi, Hasegawa Yasutoshi T. Phase relations in the system PbO—PbSiO₃. «Bull. Chem. Soc. Jap.», 1981, 54, № 3, 754—756 (англ.)

Tm

С помощью дифрактометрии, электронного микрозонда и микроскопии изучены фазовые соотношения в системе PbO (I)—PbSiO₃. Образцы готовили прокаливанием смеси I и SiO₂ в сжигающих кол-вах. Представлена фазовая диаграмма системы. Установлено образование двух новых фаз: Pb₅SiO₇ (II) и Pb₁₁Si₃O₁₇ (III). II устойчива только между 733±1 и 702±2°C. II разлагается медленно на I и III при т-рах ниже 702°C. III плавится конгруэнтно при 728±1°C. Не подтверждены лит. данные об образовании фазы Pb₄SiO₆.

Л. Г. Титов

X 1981 N 18

1981

 $PbO - PbSiO_3$

gag. quartz.

 Pb_5SiO_7 $Pb_{11}Si_3O_{17}$

(Trm)

94: 181574z Phase relations in the system lead oxide-lead silicate ($PbO-PbSiO_3$). Hirota, Kazushi; Haségawa, Yasutoshi T. (Natl. Inst. Res. Inorg. Mater., Ibaraki, Japan 305). *Bull. Chem. Soc. Jpn.* 1981, 54(3), 754-6 (Eng). Phase relations in the system $PbO-PbSiO_3$ were detd. at temps. above 650° . Two new lead silicate phases, Pb_5SiO_7 and $Pb_{11}Si_3O_{17}$ were found to be stable. The former melts incongruently at $733 \pm 1^\circ$ to solid PbO plus liq., and decompns. below $702 \pm 1^\circ$. The latter melts congruently at $728 \pm 1^\circ$. The compd. Pb_4SiO_6 , which was accepted as stable, could not be confirmed.

C.A. 1981, 94, N22

PbSiF_6

1982

Badushkevich V. I.,
Babushkin V. I.

$\Delta\alpha H$; Deposited Doc. 1982,
VINITI 1668-82, 7 pp.

(crys. K_2SiF_6 ; I)

PbSiF₆ · 4H₂O

1982

6 Б472. Кристаллическая структура тетрагидрата фторсиликата свинца. Crystal structure of: fluosilicate tetrahydrate of lead. Chargin P., Lance M., Vigner D., Soulié E. «J. Fluor. Chem.», 1982, 21, № 1, 41 (англ.)

Рентгенографически изучены кристаллы PbSiF₆ · 4H₂O. Параметры монокл. решетки: a 7,839, b 7,998, c 12,650 Å, β 91,54°, ρ (выч.) 3,530, Z 4, ф. гр. $P2_1/c$. Атомы Pb находятся в 10-кратном окружении из атомов F и молекул H₂O (квадратная антипризма с 2 дополнительными атомами).

С. В. Соболева

*Кристал-
структур*

X. 1983, 19, N 6

PbO-SiO₂

1982

' 96: 149981k Calculation of the phase diagram of the lead monoxide-silicon dioxide system. Danilenko, V. M.; Andreeva, T. V.; Goryachev, Yu. M. (Inst. Probl. Materialoved., Kiev, USSR). *Izv. Akad. Nauk SSSR, Neorg. Mater.* 1982, 18(3), 520-2 (Russ). The liquidus curves (PbO-melt, SiO₂-melt) can be used to calc. interaction parameters in the melt. A sub-regular soln. model was used to est. thermodn. properties. Heats of mixing fall in the range from -220 to -104.7 kJ/mol.

ΔHmix

C.A. 1982, 96, n18

$Pb_{11}Si_3O_{17}$

1982

19 Б350. Кристаллическая структура силиката свинца $Pb_{11}Si_3O_{17}$. Като Катсуо. Die Kristallstruktur des Bleisilikats $Pb_{11}Si_3O_{17}$. «Acta crystallogr.», 1982, V38, № 1, 57—62 (нем.; рез. англ.)

Проведено рентгенографич. определение структуры (МНК, анизотропное приближение, $R = 0,087$ для 6903 отражений) кристаллов $Pb_{11}Si_3O_{17}$ (I). Параметры трикл. решетки: $a = 22,502$, $b = 12,982$, $c = 7,313$ Å, $\alpha = 92,52^\circ$, $\beta = 99,17^\circ$, $\gamma = 100,29^\circ$, ρ (выч.) 8,46, $Z = 4$, ф. гр. $P\bar{1}$. Тетраэдры SiO_4 в структуре находятся как в изолированном виде, так и в виде диортогрупп Si_2O_7 ($Si-O$, 1,48—1,77 Å). Структурная ф-ла соединения может быть представлена как $Pb_{11}[SiO_4][Si_2O_7]O_6$. Тетраэдры SiO_4 и группы Si_2O_7 располагаются слоями, параллельными плоскости (001) и соединены между собой атомами Pb, имеющими в ближайшем окружении 3—5 атомов O ($Pb-O$, 2,05—2,99 Å). В том же структурном типе, что и I, кристаллизуется соединение

Кристал.
Структура

X.1982, 19, N 19.

$\text{Pb}_{11}\text{Ge}_3\text{O}_{17}$ (a 22,258 Å, b 19,900, c 7,366, α 97,56, β 95,12, γ 92,32°).
С. В. Соболева

aca

Pb_4SiO_6 $\boxed{Dm\cdot 21945}$ 1984

Pb_2SiO_4

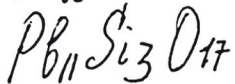
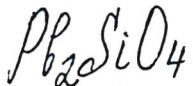
$PbSiO_3$

Björkman B., Eriksson G.,
Rosén E.,

Bf;

ellet. Trans., 1984, 15B,
N3, 511-516.

1984



Tet;

2-Б3078. Синтез и исследование фаз системы PbO—
SiO₂: Фирсов А. В., Буш А. А., Веневцев Ю. Н.
«Ж. неорган. химии», 1984, 29, № 9, 2373—2379

В условиях медленного охлаждения расплавов получены монокристаллы Pb₃Si₂O₇, двух полиморфных форм Pb₂SiO₄, Pb₁₁Si₃O₁₇ и Pb₁₁(Si_{1-y}Ge_y)₃O₁₇ 0 ≤ y ≤ 1. Методом твердофазного синтеза получена также керамика двух полиморфных форм фазы Pb₁₁Si₃O₁₇. Проведены рентгенографич., ИК-спектроскопич. и диэлектрич. исследования. На τ-тиных зависимостях диэлектрич. проницаемости полиморфных форм Pb₁₁Si₃O₁₇ при 430 и 510, 640 К соотв. обнаружены аномалии, к-рые связываются с обратимыми фазовыми переходами. Проведено сопоставление фазовых диаграмм систем PbO—SiO₂ и PbO—GeO₂, а также фаз, образующихся в этих системах.

Резюме

(4)



X. 1985, 19, N 2

PbSiO₃

1985

Pb₃Si₂O₇

10 Б3120. Химическая формула фазы X в системе PbO—SiO₂. Chemical formula of phase X in the system PbO—SiO₂. Yamaguchi O., Sugiura K., Tunekawa T., Shimizu K. «Mater. Lett.», 1985, 3, № 11, 429—431 (англ.)

С помощью ДТА, рентгенографии и ИК-спектроскопии изучены фазовые соотношения в системе PbO—SiO₂. Образцы получены гидролизом смеси алcoxидов свинца и кремния с последующей сушкой при 80° С при пониженном давл. Установлено, что при нагревании образуются: в интервале 25—410° С — аморф. фаза и гексагон. Pb₂—SiO₄ (I), при 410—600° С — фаза X, гексагон. I, при 600—640° С — фаза X, PbSiO₃ (II), H—I и гексагон. I, при 640—700° С — II и H—I. Показано, что хим. состав фазы X соответствует Pb₃Si₂O₇. Л. Г. Титов

X. 1986, 19, N 10

1985

Pb₂SiO₄

2 Б3197. Образование и превращения Pb₂SiO₄. Formation and transformation of Jb₂SiO₄. Yamaguchi O., Oka H., Shimizu K. «Polyhedron», 1985, 4, № 4, 591—593 (англ.)

Путем одновременного гидролиза Si(OC₂H₅)₄ и Pb(OC₅H₁₁)₂ с последующей промывкой и сушкой при 80° С и уменьшенном давл. получена новая крист. модификация Pb₂SiO₄, обладающая гексагон. сингонией *a* 9,928, *c* 7,184 Å и содержащая в своей структуре группы [SiO₄]⁴⁻ и [Si₂O₇]⁶⁻. Приведены ИК-спектры и межплоскостные расстояния новой фазы. Методами ДТА, ИК-спектроскопии и высокот-рного РФА показано, что новая фаза при 570—625° С переходит в *H*-фазу, плавящуюся при 720—760° С. В цикле охлаждения образовавшаяся из расплава *H*-фаза частично переходит при 490—530° С в *M*-фазу. Чистая *H*-фаза может быть получена путем закалки от т-р 625—720° С. Не обнаружено появления *L*-фазы. Для новой модификации предложена кристалло-хим. ф-ла Pb₆O(SiO₄)(Si₂O₇).

Г. Л. Апарников

X. 1986, 19, № 2

PBO-SiO₂ Мореков Б. К.,
Даукадова. И. В.
1987

IIIe3. 90kr. 9Всес. Конгр. по
сущ. химии в электротехнике
 ΔH_{mix} ион. распредел. в тверд.
электролитов, Свердловск,
20-22 окт., 1987. Т. Т. Сверд-
ловск 1987, 162-163.

(cer. Al₂O₃-SiO₂; I)

$\text{PbO} \cdot \text{SiO}_2$

1991

Изгруп. Т. Г.

Меопрал. издание. 1991.

ΔH_f

27, №. с. 1773-1774.

(см. $3\text{Al}_2\text{O}_3 \cdot 2\text{SiO}_2$; I)

PBO-Li₂O [Om. 35401]

1991

Li F., Susa M., Naga-
Gr ta K.,

Hokkaido University
J. Jap. Inst. Metals 1991,
55, N2, 194-203
Temperature and composition

Dependences of Thermal Conductivity, Thermal Diffusivity and Specific Heat of the PbO-SiO₂ Glass System.

PB.B12020

1993

Mazumdar S.,

Chikkap
Indian J. Phys. A. -
1993, 67, V1, C. 45-52.

P.A.L.V. No. 1, 1994, 21.5.2006

Pb-Si-Te

1994

122: 143924c Physicochemical analysis of the system Pb-Si-Te.
Odin, I. N. (Mosk. Gos. Univ. im. Lomonosova, Moscow, Russia).
Zh. Neorg. Khim. 1994, 39(10), 1730-3 (Russ). T-x phase
diagrams of a no. of sections of the system Pb-Si-Te and liquidus
surface of the system are constructed.

July - VIII
R. Hally

C.A. 1995, 122, N12

1995

F: PbSi₂O₅

P: 1

1Б259. Диселенит свинца. Lead diselenite / Koskenlinna M., Valkonen J. // Acta crystallogr. C. - 1995. - 51, N 1. - С. 1-3. - Англ. Желтоватые призматические кристаллы PbSe₂O₅ (I) синтезированы осаждением аморфного PbSeO₃ из водного раствора Pb(NO₃)₂ и селеновой кислоты при 330-373К в течение нескольких дней. Проведен РСТА (295К, 'лямбда'Мо, 1165 отражений, R 0,034). Параметры монокл. решетки: a 4,515, b 9,503, c 11,618 Å, 'бета' 90,33°, V 498,5 Å³, Z4, 'рo' (выч.) 5,93, ф. гр. P2[1]/n. Каждый ион Se₂O₅ координирован 5 атомами Pb, а каждый атом Pb окружен 5 группами. Атомы O образуют вокруг атомов Pb октаэдр (Pb - O 2,483-2,884 Å). Другие атомы O находятся на расстоянии 3,100 Å и выше. Проведено сравнение структуры I и других соединений. Еподеленная пара электронов направлена в сторону одного атома O. Длина связей Se - O 1,655-1,689 Å..

Кристаллическая структура.

X. 1996, N 1

1999

F: PbO-SiO₂

P: 1

132:16093 Phase equilibria in the PbO-SiO₂ system.

Pashkeev, I. Yu.; Vlasov, V. N. Kafedra

Fiz. Khim., Yuzhno-Ural. Gos. Univ. Chelyabinsk,
Russia Izv. Vyssh. Uchebn. Zaved., Tsvetn.
Metall., (4), 3-6 (Russian) 1999 High-temp. phase
equil. in the title system were studied in the concn.
region from 60 to 75 mol.% of SiO₂. The therm
properties of the molten and solid phases were examd. A
high-temp. phase diagram was constructed for the SiO₂
concn. region from 0 to 100 mol.%.

C.A. 2000, 132